

Следует заметить, что приближение Кирхгофа является самой не-



Рис.2. Диаграммы направленности реального линейного приемника, вычисленные в приближении Кирхгофа

благоприятной моделью картины дифракции. Следовательно, полученное соотношение для  $R_0$  и  $L$  гарантирует правильную форму диаграммы направленности реального линейного приемника.

### Л и т е р а т у р а

1. Махов А.И. Датчики ультразвуковых фазометров. Исследования по акустике, электрофизике и радиозлектронике. Межвузовский сборник, вып.3, КуАИ, 1975.
2. Харкевич А.А. Теория преобразователей. Избранные труды, т.1, М., "Наука", 1973.
3. Хенл Х., Мауэ А., Вестпфаль К. Теория дифракции М., "Мир", 1964.

Г.В. Абрамов, В.В. Прокудин

О ВОЗМОЖНОСТИ ОПРЕДЕЛЕНИЯ  
ХАРАКТЕРИСТИК РАССЯНИЯ РАДИОЛОКАЦИОННЫХ ЦЕЛЕЙ  
ПО РЕЗУЛЬТАТАМ ИЗМЕРЕНИЯ В БЛИЖНЕЙ ЗОНЕ

Важной характеристикой любой радиолокационной цели является ее эффективная поверхность рассеяния (ЭПР), являющаяся мерой спо-

способности цели отражать (рассеивать) энергию в направлении приемной антенны радиолокационной станции.

В общем случае поле, рассеянное целью, зависит от ее размеров и формы, а также от вариаций амплитуды и фазы падающей волны на поверхности этой цели. Для того чтобы понятие ЭПР имело смысл, она определяется для стандартного падающего поля. В качестве такого стандартного поля выбирают поле плоской волны.

При определении ЭПР больших размеров целей в лабораторных условиях возникают большие трудности, связанные с формированием облучающих цель полей, мало отличающихся от плоской волны.

Наиболее распространены два способа получения плоской волны в лабораторных условиях:

1 - удаление исследуемой цели на большое расстояние от антенны измерительной установки;

2 - применение линзовых или зеркальных коллиматоров.

При получении плоской волны первым способом необходимое расстояние между антенной и целью оказывается настолько большим, что не может быть реализовано даже в условиях открытых полигонов. Погрешности же изготовления коллиматоров приводят к появлению в поле коллиматора случайных фазовых и амплитудных флуктуаций, что ограничивает размеры коллиматора при заданном допуске на точность его изготовления [1]. Это затрудняет или делает невозможным применение коллиматоров при определении ЭПР больших размеров целей.

В связи с отмеченными трудностями большой интерес представляет исследование возможных путей использования данных измерений рассеянных полей в ближней зоне для определения ЭПР.

В работе [2] с целью определения ЭПР производилась серия замеров поля, рассеянного целью, в ближней зоне при облучении цели однородным плоским полем. По результатам измерений с помощью двумерного преобразования Фурье вычислялся спектр плоских волн, по которому можно определить поле в любой точке как ближней, так и дальней зоны.

Рассмотрим определение ЭПР по результатам измерений в сферическом поле. Этот случай наиболее интересен так как поле, близкое к сферическому, может быть легко получено в лабораторных условиях. Ограничимся при этом рассмотрением скалярных ( акустических) полей.

#### Интегральная формула для рассеянного поля

Пусть на акустически абсолютно жесткое тело, ограниченное по-

верхностью  $S$  (рис.1), падает сферическая волна точечного источника  $P$  :

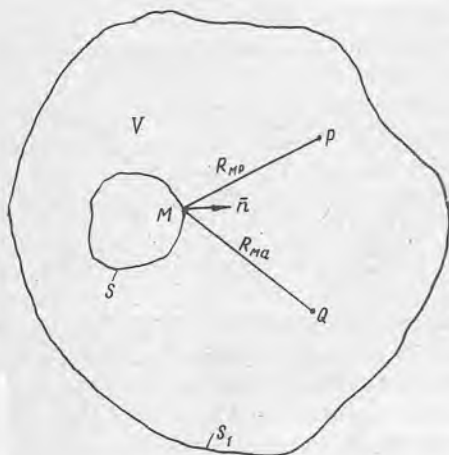


Рис. 1

в точке  $Q$  области  $V$  применим вторую формулу Грина к сумме  $\Phi_1 + \Phi_2$  и к вспомогательной функции

$$\Phi_a(M) = \frac{e^{-j\kappa R_{Ma}}}{R_{Ma}}, \quad (4)$$

удовлетворяющей уравнению

$$L(\Phi_a) = -4\pi\delta(M, Q). \quad (5)$$

В результате получим

$$\int_V [(\Phi_1 + \Phi_2)L(\Phi_a) - \Phi_a L(\Phi_1 + \Phi_2)] dV_M = \int_{S+S_1} \left[ \Phi_a \frac{\partial(\Phi_1 + \Phi_2)}{\partial n} - (\Phi_1 + \Phi_2) \frac{\partial\Phi_a}{\partial n} \right] dS_M.$$

Учитывая (2), (3), (5), а также то, что в соответствии с принципом излучения интеграл по бесконечно удаленной поверхности равен нулю, можно записать:

$$-4\pi \int_V (\Phi_1 + \Phi_2)\delta(M, Q) dV_M + 4\pi \int_V \Phi_a \delta(M, P) dV_M = - \int_S (\Phi_1 + \Phi_2) \frac{\partial\Phi_a}{\partial n} dS_M. \quad (6)$$

Пользуясь фильтрующим свойством  $\delta$  - функции и принимая во внимание, что  $\Phi_1(Q) = \Phi_a(P)$ , получаем

$$\Phi_2(Q) = \frac{1}{4\pi} \int_S [\Phi_1(M) + \Phi_2(M)] \frac{\partial\Phi_a(M)}{\partial n} dS_M \quad (7)$$

$$\Phi_1(M) = \frac{e^{-j\kappa R_{Mp}}}{R_{Mp}}. \quad (1)$$

В результате рассеяния первичной волны  $\Phi_1$  вокруг тела появится вторичное (рассеянное) поле  $\Phi_2$ . Сумма падающего и рассеянного полей в области  $V$  пространства вне тела удовлетворяет уравнению

$$L(\Phi_1 + \Phi_2) = -4\pi\delta(M, P), \quad (2)$$

где  $L = \nabla^2 + \kappa^2$  - дифференциальный оператор Гельмгольца, и условию сопряжения на  $S$  [3] :

$$\frac{\partial}{\partial n} (\Phi_1 + \Phi_2) \Big|_S = 0. \quad (3)$$

Для определения рассеянного поля в произвольной

или, подставляя (I) и (4) в (7):

$$\Phi_2(Q) = \frac{1}{4\pi} \int_S \left[ \Phi_2(M) + \frac{e^{-j\beta R_{Mp}}}{R_{Mp}} \right] \frac{\partial}{\partial n} \left( \frac{e^{-j\beta R_{MQ}}}{R_{MQ}} \right) dS_M \quad (7')$$

В общем случае для расчетов по формуле (7) необходимо точное знание функции  $\Phi_2(M)$  на всей поверхности тела  $S$ . Для частного случая отражающего тела в виде бесконечного экрана  $\Phi_2(M) = \Phi_1(M)$  на освещенной стороне  $S_0$  и  $\Phi_2(M) = -\Phi_1(M)$  на теневой стороне  $S_T$ .

Для произвольного отражающего тела (по аналогии с бесконечным экраном) из  $\Phi_2(M)$  можно также выделить часть, равную  $\pm \Phi_1(M)$  и зависящую от положения точки  $M$  на освещенной или теневой стороне тела, но, кроме того, нужно учесть многократные переотражения между элементами поверхности тела, что приводит к появлению в  $\Phi_2(M)$  дифракционной добавки. Обозначая эту добавку  $\Phi_g(M)$ , можно записать:

$$\Phi_2(M) = \pm \Phi_1(M) + \Phi_g(M) \quad (8)$$

С учетом равенства (8) выражение (7) можно представить в виде

$$\Phi_2(Q) = \frac{1}{2\pi} \int_{S_0} \Phi_1(M) \frac{\partial \Phi_2(M)}{\partial n} dS_M + \frac{1}{4\pi} \int_S \Phi_g(M) \frac{\partial \Phi_2(M)}{\partial n} dS_M \quad (9)$$

Первый интеграл в выражении (9), взятый только по освещенной поверхности тела, описывает обычное приближение Кирхгофа; второй интеграл, взятый по всей поверхности тела, учитывает дифракцию на теле.

Точность расчета по формуле (9) целиком зависит от точности определения дифракционной добавки  $\Phi_g$ , но определение этой величины в общем случае представляет весьма сложную задачу. В частных случаях ее задают такой же, как при дифракции на некоторых эталонных телах, для которых имеются точные решения [4].

Однако при определении рассеянных полей в дальней зоне по результатам измерения в ближней зоне нет необходимости задавать точное количество  $\Phi_g$ . Для исследования способа пересчета ближних полей в дальнюю зону достаточно выявить лишь основные особенности добавки  $\Phi_g$ , существенные для анализа этого способа.

Найдем интегральное выражение для рассеянного поля, учитывающее дифракцию на теле. Поместив точку  $Q$  на поверхность  $S$ , из выражения (6) находим интегральное уравнение для неизвестной функции  $\Phi_2(Q_s)$  в точках на поверхности тела:

$$\Phi_2(Q_s) = \frac{1}{2\pi} \int_S \left[ \Phi_1(M) + \Phi_2(M) \right] \frac{\partial \Phi_2(M)}{\partial n} dS_M + \Phi_1(Q_s) \quad (10)$$

Используя это интегральное уравнение, рассеянное поле в точке наблюдения  $Q$  можно выразить бесконечной суммой:

$$\Phi_2(Q) = \sum_{N=0}^{\infty} \frac{1}{(2\pi)^{N+1}} \int \dots \int_{S_0}^{(N+1)} \Phi_1(M_N) \prod_{k=1}^N \left[ \frac{\partial \Phi_{M_{k-1}}(M_k)}{\partial n_k} dS_{M_k} \right] \frac{\partial \Phi_0(M_0)}{\partial n_0} dS_{M_0} \quad (II)$$

Формула (II) полностью описывает все свойства рассеянного поля, причем в нее входят только известные функции:

$$\Phi_1(M_N) = \frac{e^{-jkR_{\rho M_N}}}{R_{\rho M_N}}; \quad (I2)$$

$$\Phi_0(M_0) = \frac{e^{-jkR_{QM_0}}}{R_{QM_0}}; \quad (I3)$$

$$\Phi_{M_{k-1}}(M_k) = \frac{e^{-jkR_{M_{k-1}M_k}}}{R_{M_{k-1}M_k}}. \quad (I4)$$

В этих выражениях  $R_{\rho M_N}$  - расстояние между точкой излучения  $\rho$  и произвольной точкой  $M_N$  на поверхности тела;  $R_{QM_0}$  - расстояние между точкой приема и произвольной точкой  $M_0$  на поверхности тела;  $R_{M_{k-1}M_k}$  - расстояние по прямой между произвольными точками  $M_{k-1}$  и  $M_k$  на поверхности тела. Конкретные представления этих расстояний через координаты точек необходимо выбирать в зависимости от вида поверхности, на которой определяется рассеянное поле.

Определение рассеянных полей в дальней зоне по результатам измерения на плоскости в ближней зоне

При определении рассеянных полей на плоскости целесообразно пользоваться прямоугольной системой координат.

Пусть с исследуемой целью совмещен центр прямоугольной системы координат (рис.2). Тогда функции (I2) - (I4) можно записать в виде:

$$\Phi_1(M_N) = \frac{\exp[-jk\sqrt{(x_p - x_N)^2 + (y_p - y_N)^2 + (z_p - z_N)^2}]}{\sqrt{(x_p - x_N)^2 + (y_p - y_N)^2 + (z_p - z_N)^2}}; \quad (I2')$$

$$\Phi_0(M_0) = \frac{\exp[-jk\sqrt{(x_a - x_0)^2 + (y_a - y_0)^2 + (z_a - z_0)^2}]}{\sqrt{(x_a - x_0)^2 + (y_a - y_0)^2 + (z_a - z_0)^2}}; \quad (I3')$$

$$\Phi_{M_{k-1}}(M_k) = \frac{\exp[-jk\sqrt{(x_{k-1}-x_k)^2+(y_{k-1}-y_k)^2+(z_{k-1}-z_k)^2}]}{\sqrt{(x_{k-1}-x_k)^2+(y_{k-1}-y_k)^2+(z_{k-1}-z_k)^2}} \quad (I4')$$

Как видно из равенств ( I2' ) - ( I4' ), рассеянное поле является функцией шести координат точек  $P$  и  $Q$  :  $\Phi_2(Q) = \Phi_2(x_p, y_p, z_p, x_a, y_a, z_a)$ .

При заданном фиксированном расстоянии до плоскости, в которой сканируют точки  $P$  и  $Q$ ,  $z_p = z_a$ , следовательно, рассеянное поле в этой плоскости является функцией четырех независимых переменных

$x_p, y_p, x_a, y_a$ .  
Расстояние  $z_p = z_a$   
в этом случае можно

рассматривать как параметр:

$$\Phi_2(Q) = \Phi_2(x_p, y_p, x_a, y_a, z_p).$$

Найдем четырехмерное преобразование Фурье функции  $\Phi_2(Q)$  :

$$F_{pQ}(\omega_1, \omega_2, \omega_3, \omega_4, z_p) = \iiint\int \Phi_2(x_p, y_p, x_a, y_a, z_p) \times \exp[-j(\omega_1 x_p + \omega_2 y_p + \omega_3 x_a + \omega_4 y_a)] dx_p dy_p dx_a dy_a \quad (I5)$$

Подставляя значение  $\Phi_2$  из равенства (II), получаем

$$F_{pQ}(\omega_1, \omega_2, \omega_3, \omega_4, z_p) = \sum_{N=0}^{\infty} \frac{1}{(2\pi)^{M_N}} \int_S \dots \int \left\{ \iiint\int \Phi_1(M_N) \frac{\partial \Phi_Q(M_Q)}{\partial n_Q} \times \exp[-j(\omega_1 x_p + \omega_2 y_p + \omega_3 x_a + \omega_4 y_a)] \prod_{k=1}^N \left[ \frac{\partial \Phi_{M_{k-1}}(M_k)}{\partial n_k} dS_{M_k} \right] dS_{M_Q} \right\} dx_p dy_p dx_a dy_a \quad (I6)$$

Из (I6) следует, что спектр функции  $\Phi_2(x_p, y_p, x_a, y_a, z_p)$  определяется спектром произведения функций  $\Phi_1 \frac{\partial \Phi_Q}{\partial n_Q}$ , и, так как каждая из этих функций зависит от двух переменных, четырехмерное преобразование Фурье в этом выражении может быть представлено в виде произведения двух двумерных преобразований:

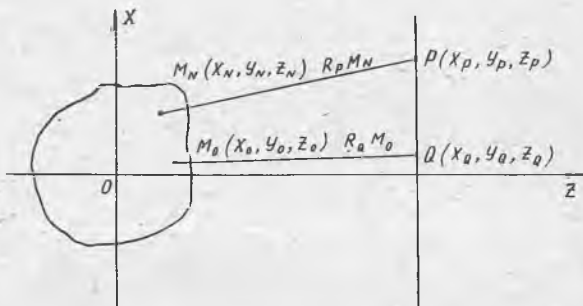


Рис.2

$$G_1(\omega_1, \omega_2, z_p) = \iint_{-\infty}^{\infty} \Phi_1(M_N) e^{-j(\omega_1 x_p + \omega_2 y_p)} dx_p dy_p; \quad (I7)$$

$$G_2(\omega_3, \omega_4, z_p) = \iint_{-\infty}^{\infty} \frac{\partial \Phi_0(M_0)}{\partial n_0} e^{-j(\omega_3 x_0 + \omega_4 y_0)} dx_0 dy_0. \quad (I8)$$

Рассмотрим  $G_1(\omega_1, \omega_2, z_p)$ . Подставляя в (I7)  $\Phi_1(M_N)$  из (I2'), получаем

$$G_1(\omega_1, \omega_2, z_p) = \iint_{-\infty}^{\infty} \frac{\exp[-jk\sqrt{(x_p - x_N)^2 + (y_p - y_N)^2 + (z_p - z_N)^2}]}{\sqrt{(x_p - x_N)^2 + (y_p - y_N)^2 + (z_p - z_N)^2}} \times \\ \times e^{-j(\omega_1 x_p + \omega_2 y_p)} dx_p dy_p.$$

Замена переменных  $x_p - x_N = \rho \cos \varphi$ ;  $y_p - y_N = \rho \sin \varphi$ ;  $\omega_1 = \Omega \cos \psi$ ,  $\omega_2 = \Omega \sin \psi$  дает:

$$G_1(\omega_1, \omega_2, z_p) = 2\pi e^{-j(\omega_1 x_N + \omega_2 y_N)} \int_0^{\infty} \frac{\exp[-jk\sqrt{\rho^2 + (z_p - z_N)^2}]}{\sqrt{\rho^2 + (z_p - z_N)^2}} \times J_0(\rho \Omega) \rho d\rho.$$

После новой замены переменной  $u = \frac{\sqrt{\rho^2 + (z_p - z_N)^2}}{z_p - z_N}$  получаем

$$G_1(\omega_1, \omega_2, z_p) = 2\pi (z_p - z_N) e^{-j(\omega_1 x_N + \omega_2 y_N)} \int_1^{\infty} \frac{\exp[-jk(z_p - z_N)u]}{u} J_0[\Omega(z_p - z_N)\sqrt{u^2 - 1}] du = \\ = 2\pi \frac{\exp\left\{-j\left[\omega_1 x_N + \omega_2 y_N + (z_p - z_N)\sqrt{k^2 - \omega_1^2 - \omega_2^2}\right]\right\}}{j\sqrt{k^2 - \omega_1^2 - \omega_2^2}}. \quad (I9)$$

Аналогично для  $G_2(\omega_3, \omega_4, z_p)$  можно получить выражение

$$G_2(\omega_3, \omega_4, z_p) = 2\pi \frac{\exp(-jz_p\sqrt{k^2 - \omega_3^2 - \omega_4^2})}{j\sqrt{k^2 - \omega_3^2 - \omega_4^2}} \times \\ \times \frac{\partial}{\partial n_0} \left\{ \exp\left[-j(\omega_3 x_0 + \omega_4 y_0 - z_0\sqrt{k^2 - \omega_3^2 - \omega_4^2})\right] \right\}. \quad (20)$$

С учетом формул (I9) и (20) выражение (I6) можно переписать в виде

$$F_{p0}(\omega_1, \omega_2, \omega_3, \omega_4, z_p) = -(2\pi)^2 \frac{\exp[-jz_p(\sqrt{k^2 - \omega_1^2 - \omega_2^2} + \sqrt{k^2 - \omega_3^2 - \omega_4^2})]}{\sqrt{(k^2 - \omega_1^2 - \omega_2^2)}(k^2 - \omega_3^2 - \omega_4^2)} \times \\ \times \quad (21)$$

$$\times \sum_{N=0}^{\infty} \frac{1}{(2\pi)^{N+1}} \int_S^{(N+1)} \int_S e^{-j(\omega_1 x_N + \omega_2 y_N - z_N\sqrt{k^2 - \omega_1^2 - \omega_2^2})} \times \\ \times \frac{\partial}{\partial n_0} \left[ e^{-j(\omega_3 x_0 + \omega_4 y_0 - z_0\sqrt{k^2 - \omega_3^2 - \omega_4^2})} \right] \prod_{K=1}^N \left[ \frac{\partial \Phi_{M_K}(M_K)}{\partial n_K} ds_{M_K} \right] ds_{M_0}.$$

Из (21) следует, что отношение спектров рассеянного поля в двух плоскостях, расположенных от начала координат на расстоянии  $z_p$  и  $z_p'$ , равно:

$$K_{p,p'}(\omega_1, \omega_2, \omega_3, \omega_4, z_p, z_p') = \frac{F_{p,p'}(\omega_1, \omega_2, \omega_3, \omega_4, z_p')}{F_{p,p'}(\omega_1, \omega_2, \omega_3, \omega_4, z_p)} = e^{-j(\omega_1 z_p' - z_p)(\sqrt{k^2 - \omega_1^2 - \omega_2^2} + \sqrt{k^2 - \omega_3^2 - \omega_4^2})} \quad (22)$$

Таким образом, если измерено рассеянное поле в плоскости на расстоянии  $z_p$  от объекта, то рассеянное поле в плоскости на расстоянии  $z_p'$  может быть найдено из обратного преобразования Фурье функции  $F_{p,p'}(\omega_1, \omega_2, \omega_3, \omega_4, z_p') = F_{p,p'}(\omega_1, \omega_2, \omega_3, \omega_4, z_p) K_{p,p'}(\omega_1, \omega_2, \omega_3, \omega_4, z_p', z_p)$ :

$$\Phi_2(x_p', y_p', x_0, y_0, z_p') = \frac{1}{(2\pi)^4} \iiint \iiint F_{p,p'}(\omega_1, \omega_2, \omega_3, \omega_4, z_p') \times e^{-j(\omega_1 x_p' + \omega_2 y_p' + \omega_3 x_0 + \omega_4 y_0)} d\omega_1 d\omega_2 d\omega_3 d\omega_4 \quad (23)$$

Если необходимо определить лишь диаграмму рассеяния, соответствующую облучению цели плоскими волнами различных направлений, то достаточно определить только спектр рассеянного поля.

В самом деле, пусть точки излучения и приема удалены на такое расстояние, что в пределах цели поле можно считать локально плоским. Тогда функции  $\Phi_1(M_N)$  и  $\Phi_0(M_0)$  можно записать в виде:

$$\Phi_1(M_N) = A_1 e^{-j(k_{px} x_N + k_{py} y_N + k_{pz} z_N)} \quad (24)$$

$$\Phi_0(M_0) = A_2 e^{-j(k_{0x} x_0 + k_{0y} y_0 + k_{0z} z_0)} \quad (25)$$

Выражения (24) и (25) эквивалентны плоским волнам с волновыми векторами  $\vec{k}_p$  и  $\vec{k}_0$ , имеющими проекции на оси координат соответственно  $k_{px}, k_{py}, k_{pz}$  и  $k_{0x}, k_{0y}, k_{0z}$ , причем:

$$\left. \begin{aligned} k_{px}^2 + k_{py}^2 + k_{pz}^2 &= k^2, \\ k_{0x}^2 + k_{0y}^2 + k_{0z}^2 &= k^2. \end{aligned} \right\} \quad (26)$$

Из проекций на ось  $z$  получаем:

$$\left. \begin{aligned} k_{pz} &= \pm \sqrt{k^2 - k_{px}^2 - k_{py}^2}, \\ k_{0z} &= \pm \sqrt{k^2 - k_{0x}^2 - k_{0y}^2}. \end{aligned} \right\} \quad (27)$$

В выражениях (27) выберем знак минус для волны, распространяющейся в отрицательном направлении оси  $z$ . Подставляя (24) и (25) в (11), при  $A_1 = A_2 = 1$  с учетом (27) получаем



$$\Phi_2(\bar{k}_p, \bar{k}_a) = \sum_{N=0}^{\infty} \frac{1}{(2\pi)^{N+1}} \int_{\bar{z}}^{(N+1)} \int e^{j(k_{px} x_N + k_{py} y_N - z_N \sqrt{k^2 - k_{px}^2 - k_{py}^2})} \times \\ \times \frac{\partial}{\partial n_0} \left[ e^{-j(k_{ax} x_0 + k_{ay} y_0 - z_0 \sqrt{k^2 - k_{ax}^2 - k_{ay}^2})} \right] \prod_{\lambda=1}^N \left[ \frac{\partial \Phi_{M_{\lambda-1}}(M_{\lambda})}{\partial n_{\lambda}} \right] ds_{M_0}. \quad (28)$$

Выражение (28) представляет собой диаграмму рассеяния цели, причем направления облучения и приема определяются волновыми векторами  $\bar{k}_p$  и  $\bar{k}_a$ .

Сравнивая (28) и (21), находим, что

$$\Phi_2(\bar{k}_p, \bar{k}_a) = -\frac{1}{(2\pi)^2} \sqrt{(k^2 - k_{px}^2 - k_{py}^2)(k^2 - k_{ax}^2 - k_{ay}^2)} \times \\ \times e^{jz_p(\sqrt{k^2 - k_{px}^2 - k_{py}^2} + \sqrt{k^2 - k_{ax}^2 - k_{ay}^2})} F_{pa}(k_{px}, k_{py}, k_{ax}, k_{ay}, z_p), \quad (29)$$

где  $F_{pa}(k_{px}, k_{py}, k_{ax}, k_{ay}, z_p)$  определяется выражением (15) при

$$\omega_1 = k_{px}, \quad \omega_2 = k_{py}, \quad \omega_3 = k_{ax}, \quad \omega_4 = k_{ay}.$$

Таким образом, из выражения (29) следует, что для определения диаграммы рассеяния произвольной цели в общем случае необходимо выполнить четырехмерное преобразование Фурье рассеянного поля, измеренного на плоскости в ближней зоне.

### Л и т е р а т у р а

1. Майзельс Е.Н., Торгованов В.А. Измерение характеристик рассеяния радиолокационных целей. Под ред. М.А. Колосова. М., "Советское радио", 1972.
2. Edwards J.L., Ryan C.E., Stozey W.J. - Measurement of bistatic near-zone radar cross-section., *Int. IEEE/AP-S Symp. Program and Dig., Atlanta, Ga, 1974.* New York, N. Y, 1974.
3. Арсенин В.Я. Методы математической физики и специальные функции. М., "Наука", главная редакция физ.-мат. литературы, 1974.
4. Уфимцев П.Я. Метод краевых волн в физической теории дифракции. М., "Советское радио", 1962.